



Министерство науки и высшего образования Российской Федерации
Федеральное государственное бюджетное образовательное учреждение
высшего образования
«Московский государственный технический университет
имени Н.Э. Баумана
(национальный исследовательский университет)»
(МГТУ им. Н.Э. Баумана)

ФАКУЛЬТЕТ *Робототехники и комплексной автоматизации*

КАФЕДРА *Системы автоматизированного проектирования (РК-6)*

ОТЧЕТ О ВЫПОЛНЕНИИ ЛАБОРАТОРНОЙ РАБОТЫ

по дисциплине: «Вычислительная математика»

Студент	Караф Сармат Майк
Группа	РК6-52Б
Тип задания	лабораторная работа
Тема лабораторной работы	Интерполяция в условиях измерений с неопределенностью

Студент	<hr/>	Караф С.М.
	<i>подпись, дата</i>	<i>фамилия, и.о.</i>
Преподаватель	<hr/>	Першин А.Ю
	<i>подпись, дата</i>	<i>фамилия, и.о.</i>

Москва, 2021 г.

Оглавление

Задание на лабораторную работу	3
Цель выполнения лабораторной работы	5
Выполненные задачи	7
1. Интерполяция кубическими сплайнами (Базовая часть).....	7
1.1 Функция коэффициентов кубического сплайна.....	7
1.2 Расчёт кубического сплайна и производная кубического сплайна.....	8
1.3 Построение аппроксимирующую зависимость уровня поверхности.....	9
2. Влияние погрешностей на интерполяцию (Продвинутая часть)	11
2.1 Функция возвращение значение i -го базисного полинома Лагранжа.....	11
2.2 Функция интерполяционного полинома Лагранжа.....	11
2.3 Анализ выявления влияния погрешности на интерполяцию.....	12
a. Генерация 1000 векторов со случайными величинами.....	12
b. Интерполяция Лагранжа со случайной величиной.....	12
c. Построение добротной полосы.....	13
d. Усреднённый интерполлянт.....	14
e. Чувствительные участки к погрешностям.....	15
2.4 Погрешность значений ординат h_i	15
2.5 Влияние погрешности на интерполяцию кубическим сплайном.....	17
Заключение.....	21
Список использованных источников	22

Столь
 детально
 или
 упрощено
 не
 было

Задание на лабораторную работу

Задача 5 (интерполяция кубическими сплайнами)

Требуется (базовая часть):

1. Разработать функцию `qubic_spline_coeff(x_nodes, y_nodes)`, которая посредством решения матричного уравнения вычисляет коэффициенты естественного кубического сплайна.
2. Написать функции `qubic_spline(x, qs_coeff)` и `d_qubic_spline(x, qs_coeff)`, которые вычисляют соответственно значение кубического сплайна и его производной в точке x
3. Используя данные в таблице 1, требуется построить аппроксимацию зависимости уровня поверхности жидкости $h(x)$ от координаты x (см. рисунок 1) с помощью кубического сплайна и продемонстрировать ее на графике вместе с исходными узлами.

Таблица 1: Значения уровня поверхности вязкой жидкости (рис.1)

i	1	2	3	4	5	6	7	8	9	10	11
x_i	0	0.1	0.2	0.3	0.4	0.5	0.6	0.7	0.8	0.9	1
h_i	3.37	3.95	3.73	3.59	3.15	3.15	3.05	3.86	3.60	3.70	3.02

Требуется (продвинутая часть):

1. Разработать функцию `l_i(i, x, x_nodes)`, которая возвращает значение i -го базисного полинома Лагранжа, заданного на узлах с абсциссами `x_nodes`, в точке x .
2. Написать функцию `L(x, x_nodes, y_nodes)`, которая возвращает значение интерполяционного полинома Лагранжа, заданного на узлах с абсциссами `x_nodes` и ординатами `y_nodes`, в точке x .
3. Известно, что при измерении координаты x_i всегда возникает погрешность, которая моделируется случайной величиной с нормальным распределением с нулевым математическим ожиданием и стандартным

отклонением 10^{-2} . Требуется провести следующий анализ, позволяющий выявить влияние этой погрешности на интерполяцию:

- a. Сгенерировать 1000 векторов значений $[\tilde{x}_1, \dots, \tilde{x}_{11}]^T$, предполагая, что $\tilde{x}_i = x_i + Z$, где x_i соответствует значению в таблице 1 и Z является случайной величиной с нормальным распределением с нулевым математическим ожиданием и стандартным отклонением 10^{-2} .
- b. Для каждого из полученных векторов построить интерполянт Лагранжа, предполагая, что в качестве абсцисс узлов используются значения \tilde{x}_i , а ординат h_i из таблицы 1. В результате вы должны иметь 1000 различных интерполянтов
- c. Предполагая, что все интерполянты представляют собой равновероятные события, построить такие функции $\tilde{h}_l(x)$ и $\tilde{h}_u(x)$, где $\tilde{h}_l(x) < \tilde{h}_u(x)$ для любого $x \in [0; 1]$, что вероятность того, что значение интерполлянта в точке x будет лежать в интервале $[\tilde{h}_l(x); \tilde{h}_u(x)]$ равна 0.9.
- d. Отобразить на едином графике функции $\tilde{h}_l(x)$, $\tilde{h}_u(x)$, усредненный интерполянт и узлы из таблицы 1.
- e. Какие участки интерполлянта и почему являются наиболее чувствительными к погрешностям?

4. Повторить анализ, описанный в предыдущем пункте, в предположении, что координаты x_i вам известны точно, в то время как измерения уровня поверхности h_i имеют ту же погрешность, что и в предыдущем пункте. Изменились ли выводы вашего анализа?

5. Повторить два предыдущие пункта для случая интерполяции кубическим сплайном. Какие выводы вы можете сделать, сравнив результаты анализа для интерполяции Лагранжа и интерполяции кубическим сплайном?

Цель выполнения лабораторной работы

Цель выполнения лабораторной работы – Изучение методов интерполяции кубическим сплайном (Базовая часть) и Лагранжа (продвинутая часть). Проанализировать работу этих методов при варьировании исходных параметров, разработав программное обеспечение на языке Python.

Выполненные задачи

1. Разработана функция `qubic_spline_coeff(x_nodes, y_nodes)`, которая посредством решения матричного уравнения вычисляет коэффициенты естественного кубического сплайна.

2. Разработана функция `L(x, x_nodes, y_nodes)`, которая возвращает значение интерполяционного полинома Лагранжа, заданного на узлах с абсциссами `x_nodes` и ординатами `y_nodes`, в точке x .

3. Используя данные из таблицы 1, была построена аппроксимирующая зависимость уровня поверхности жидкости $h(x)$ от координаты x с помощью кубического сплайна и продемонстрирована на графике вместе с исходными узлами.

4. Разработана функция `l_i(i, x, x_nodes)`, которая возвращает значение i -го базисного полинома Лагранжа, заданного на узлах с абсциссами `x_nodes`, в точке x .

5. Разработана функция `L(x, x_nodes, y_nodes)`, которая возвращает значение интерполяционного полинома Лагранжа, заданного на узлах с абсциссами `x_nodes` и ординатами `y_nodes`, в точке x .

6. Формированы 1000 векторов значений $[\tilde{x}_1, \dots, \tilde{x}_{11}]^T$, предполагая, что $\tilde{x}_i = x_i + Z$, где x_i соответствует значению в таблице 1 и Z является случайной величиной с нормальным распределением с нулевым математическим ожиданием и стандартным отклонением 10^{-2} .

7. Были построены для каждого из полученных векторов интерполант Лагранжа.

8. Показали на едином графике функции $\tilde{h}_l(x)$, $\tilde{h}_u(x)$, усредненный интерполянт и узлы из таблицы 1.

9. Повторили анализы, описанный в 3 пункте, в предположении, что координаты x_i вам известны точно, в то время как измерения уровня поверхности h_i имеют ту же погрешность, что и в предыдущем 3 пункте.

10. Повторили 3 и 4 пункты для случая интерполяции кубическим сплайном.

1. Интерполяция кубическими сплайнами (Базовая часть)

1.1. Функция коэффициентов кубического сплайна

Рассмотрим формулу кубического сплайна:

$$S_i(x) = a_i + b_i(x - x_i) + c_i(x - x_i)^2 + d_i(x - x_i)^3, \quad i = \dots \quad (1.1)$$

Нам нужно найти коэффициенты b, c, d, для этого разработаем функцию `cubic_spline_coeff(x_nodes, y_nodes)`, которая по средству решения матричного уравнения вычислит коэффициенты кубического сплайна.

$$\begin{bmatrix} 1 & 0 & \dots & \dots & \dots & 0 \\ h_1 & 2(h_2 + h_1) & h_2 & 0 & \dots & 0 \\ 0 & h_2 & 2(h_3 + h_2) & 2 & \dots & 0 \\ \vdots & \ddots & \ddots & \ddots & \ddots & \vdots \\ 0 & \dots & 0 & h_{n-2} & 2(h_{n-2} + h_{n-1}) & h_{n-1} \\ 0 & \dots & \dots & \dots & \dots & 1 \end{bmatrix} \begin{bmatrix} c_1 \\ c_2 \\ c_3 \\ \vdots \\ c_{n-1} \\ c_{n-2} \end{bmatrix} = \begin{bmatrix} 0 \\ \frac{3}{h_2}(a_3 - a_2) - \frac{3}{h_1}(a_2 - a_1) \\ \frac{3}{h_3}(a_4 - a_3) - \frac{3}{h_2}(a_3 - a_2) \\ \vdots \\ \frac{3}{h_{n-1}}(a_n - a_{n-1}) - \frac{3}{h_{n-2}}(a_{n-1} - a_{n-2}) \\ 0 \end{bmatrix} \quad (1.2)$$

где $h_i = x_{i+1} - x_i$ и a_i равна значениям функции в узлах (Таблица 1)

Из матрицы (1.2) можно найти коэффициенты c (см. листинг 1.1)

Листинг 1.1 (Код решения матричного уравнения, нахождение коэффициентов c)

```
for i in range(0, len(x_I) - 2): # подсчёт главной диагонали
    k_ser.append(2 * (h_i[i + 1] + h_i[i]))
k_ser.append(1)
k_ser = np.diag(k_ser, k=0) # правая диагональ
k_max = np.diag(h_i, k=1) # главная диагональ
k_min = np.diag(h_i, k=-1) # левая диагональ
x_matr = k_ser + k_max + k_min # объединение диагоналей в матрицу
for i in range(1, 10):
    x_matr[0][i] = 0
    x_matr[10][i] = 0

for i in range(0, len(x_I) - 2): # матрица a = F(x)
    a_matr.append(((3 / h_i[i + 1]) * (h_I[i + 2] - h_I[i + 1])) - ((3 / h_i[i]) * (h_I[i + 1] - h_I[i])))
a_matr.append(0)

x_matr = np.linalg.inv(x_matr) # инвертирование матрицы a
c_koef = np.dot(x_matr, a_matr) # Перемножение матрицы, получение коэффициентов c
c_koef = c_koef.tolist()
```

В реализации кода используем $c_coef = c_coef.tolist()$, чтобы перезаписать c_coef из матрицы в список.

После нахождения коэффициентов c , вычисляем остальные коэффициенты по формулам (1.3), (1.4). (см. листинг 1.2)

$$d_i = \frac{c_{i+1} - c_i}{3h_i}, \quad (1.3)$$

$$b_i = \frac{1}{h_i}(a_{i+1} - a_i) - \frac{h_i}{3}(c_{i+1} - 2c_i), \quad (1.4)$$

Листинг 1.2 (Код расчёта коэффициентов b, d)

```
for i in range(0, len(x_I) - 1): # расчёт коэффициентов b, d
    d_coef.append((c_coef[i + 1] - c_coef[i]) / (3 * h_i[i]))
    b_coef.append(((h_I[i + 1] - h_I[i]) / h_i[i]) - ((h_i[i] * (c_coef[i + 1] +
2 * c_coef[i])) / 3))
```

Результатом функции `qubic_spline_coeff(x_nodes, y_nodes)` должен быть объединение всех коэффициентов в одну матрицу, в итоге функция возвращает $(N - 1) \times 3$ матрицу, где N количество узлов интерполяции. (см. листинг 1.3)

Листинг 1.3 (Результат функции `qubic_spline_coeff(x_nodes, y_nodes)`)

```
coef = np.r_["0,2", b_coef, c_coef, d_coef] # объединение всех коэффициентов в
одну матрицу
return coef # результат функции
```

1.2. Расчёт кубического сплайна и производная кубического сплайна

Для расчёта кубического сплайна воспользуемся формулой (1.1) и так же найдем производную кубического сплайна, получим:

$$S'(x) \neq S'_i(x) = b_i x + 2c_i(x - x_i) + 3d_i(x - x_i)^2 \quad (1.5)$$

Разработаем функции вычисления кубического сплайна `qubic_spline(x, qs_coef)` и производную кубического сплайна `d_qubic_spline(x, qs_coef)`. (см. листинг 1.5 и 1.6) добавив проверку на индексацию, чтобы принятый x в функции находились в промежутке $[x_0, \dots, x_i]$, где значение $[x_0, \dots, x_i]$ значение с таблицы 1. (см. листинг 1.4)

Листинг 1.4 (Проверка индексации для указанных x)

```
for i in range(0, len(x_I) - 1):      # x в промежутке от x_0 до x_i
    if x_I[i] <= x < x_I[i + 1]:
        ind = i
        break
if x >= x_I[len(x_I) - 1]:          # x больше x_i
    ind = len(x_I) - 2
if x <= x_I[0]:                     # x меньше x_0
    ind = 0
```

Листинг 1.5 (Код функции cubic_spline(x, qs_coeff))

```
def cubic_spline(x, qs_coeff, x_I, h_I):
    for i in range(0, len(x_I) - 1):      # x в промежутке от x_0 до x_i
        if x_I[i] <= x < x_I[i + 1]:
            ind = i
            break
    if x >= x_I[len(x_I) - 1]:          # x больше x_i
        ind = len(x_I) - 2
    if x <= x_I[0]:                     # x меньше x_0
        ind = 0
    # расчёт кубического сплайна
    return h_I[ind] + qs_coeff[0][ind] * (x - x_I[ind]) + (qs_coeff[1][ind] * (x
- x_I[ind]) ** 2) + (qs_coeff[2][ind] * (x - x_I[ind]) ** 3)
```

Листинг 1.6 (Код функции cubic_spline(x, qs_coeff))

```
def d_cubic_spline(x, qs_coeff, x_I):
    for i in range(0, len(x_I) - 1):      # x в промежутке от x_0 до x_i
        if x_I[i] <= x < x_I[i + 1]:
            index = i
            break
    if x >= x_I[len(x_I) - 1]:          # x больше x_i
        index = len(x_I) - 2
    if x <= x_I[0]:                     # x меньше x_0
        index = 0
    # расчёт производной кубического сплайна
    return qs_coeff[0][index] + 2 * qs_coeff[1][index] * (x - x_I[i]) + 3 *
qs_coeff[2][index] * (x - x_I[index]) ** 2
```

Результаты функций cubic_spline(x, qs_coeff) и d_cubic_spline(x, qs_coeff) являются значение кубического сплайна в переданной точке x

1.3. Построение аппроксимирующую зависимость уровня поверхности

Для четкого построение аппроксимирующей функции нужно взять больше точек. Поэтому воспользуемся операцией $o = \text{np.arange}(x_I[0], x_I[-1] + x_I[-1] / 100, x_I[-1] / 100)$, что создает нам массив из 101 элементов, которые находятся в промежутке $[0;1]$ и с шагом 0.01, затем мы этот массив передаем в функцию cubic_spline(x, qs_coeff). (см. листинг1.7)

При помощи полученных результатов кубического сплайна в точках можно построить аппроксимирующую функцию используя библиотеку `matplotlib`. (см. листинг 1.8)

Листинг 1.7 (Расчёты кубического сплайна)

```
o = np.arange(x_I[0], x_I[-1] + x_I[-1] / 100, x_I[-1] / 100) # массив от 0 до 1
for i in range(101): # получение расчётов кубического сплайна
    s.append(cubic_spline(o[i], gs_coeff, x_I, h_I))
```

Листинг 1.8 (Отображение аппроксимирующей функции с узлами из таблицы)

```
plt.scatter(x_I, h_I) # построение узлов со знач. из таблицы
plt.plot(o, s)       # построение аппроксимирующей функции
plt.grid()
plt.show()           # отображение аппроксимирующей функции с узлами из таблицы
```

На рисунке 1 изображён результат работы метода кубического сплайна, проходящего через узлы из таблицы 1.

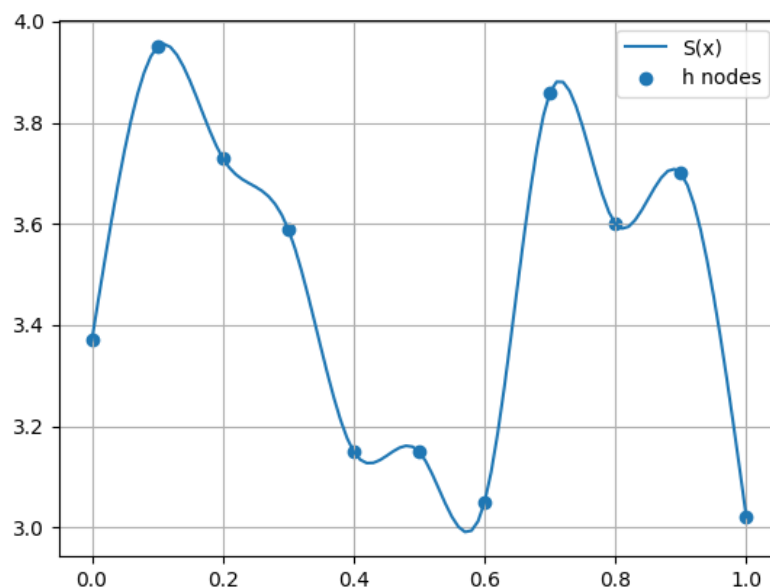


Рис. 1: кубический сплайн, проходящий через узлы из таблицы 1.

2. Влияние погрешностей на интерполяцию (Продвинутая часть)

2.1. Функция возвращение значение i –го базисного полинома Лагранжа

Для разработки функции `l_i(i, x, x_nodes)`, которая возвращает значение i-го базисного полинома Лагранжа, на заданных узлах с абсциссами `x_nodes`, в точке `x`, воспользуемся формулой (2.1). (см. листинг2.1)

$$l_i(x) = \prod_{j=0, j \neq i}^n \frac{x - x_j}{x_i - x_j} \quad (2.1)$$

Листинг 2.1 (Код функции `l_i(i, x, x_nodes)`)

```
def l_i(i, x, x_I):
    p = 1
    for j in range(0, len(x_I)):
        if i != j:
            p *= (x - x_I[j]) / (x_I[i] - x_I[j]) #расчёт i-го базисного полинома Лагранжа
    return p
```

Результатом функции является вычисленный i-ый базис полинома Лагранжа.

2.2. Функция интерполяционного полинома Лагранжа

Для разработки функции `L(x, x_nodes, y_nodes)`, которая возвращает значение интерполяционного полинома Лагранжа n-1 степени, заданного на узлах с абсциссами `x_nodes` и ординатами `y_nodes`, в точке, воспользуемся формулой (2.2). (см. листинг2.2)

$$L(x) = \sum_{i=0}^n y_i l_i(x), \quad (2.2)$$

Листинг 2.2 (Код функции `L(x, x_nodes, y_nodes)`)

```
def L(x, x_I, h_I):
    L = 0
    for i in range(0, len(x_I)):
        L += h_I[i] * l_i(i, x, x_I) #расчёт значение интерполяционного полинома Лагранжа n-1 степени
    return L
```

Результатом функции является вычисленный значение интерполяционного полинома Лагранжа n-1 степени

2.3. Анализ выявления влияния погрешности на интерполяцию

а. Генерация 1000 векторов со случайными величинами

Исходя из условия было сформировано 1000 векторов значений $[\tilde{x}_1, \dots, \tilde{x}_{11}]^T$ так что $\tilde{x}_i = x_i + Z$, где x_i значению из таблицы 1 и Z случайная величина с нормальным распределением и нулевым мат ожиданием и отклонением 10^{-2} . Для создание погрешности воспользовались операцией $z = [\text{random.normalvariate}(\mu=0, \sigma=0.01)]$, задавая характеристики указанных в условии, что величина с нормальным распределением и нулевым мат ожиданием и отклонением 10^{-2} . Затем заполняем нашу матрицу векторов $\tilde{x}_i = x_i + Z$ (см. листинг 2.3). Для удобства пользование округлим наше случайное число.

Листинг 2.3 (Код формирования 1000 векторов со случайной величиной)

```
for i in range(1000): # формирование 1000 векторов
    x_pog = []
#создание случайной величины
    z = [random.normalvariate(mu=0, sigma=0.01) for j in range(len(x_I))]
    for k in range(len(x_I)):
        z[k] = round(z[k], 5)
        x_pog.append(x_I[k] + z[k]) # формирование 1000 векторов со случайной
величиной
    vec.insert(i, x_pog)
```

В результате будет матрица 1000×11 с исходными $x_i + Z$

б. Интерполяция Лагранжа со случайной величиной

В предыдущем пункте (а) формировали 1000 векторов со случайными величинами, передадим эту матрицу векторов в функцию интерполяционного полинома Лагранжа $L(x, x_nodes, y_nodes)$, с дополнительными иксами суммированных с погрешностью, получим матрицу со значениями интерполяционного полинома Лагранжа $n-1$ степени для каждого x_i (см. листинг 2.4)

Листинг 2.4 (Код интерполяции Лагранжа со случайной величиной)

```
for i in range(1000):
    temp = []
    for j in range(101):
        temp.append(L(1 / 101 * j, vec[i], h_I)) # передача x в функция
интерполяции Лагранжа
    L_I.insert(i, temp) # Запись значений интерполяции в матрицу
```

Выведем полиномы Лагранжа для 1000 векторов (Рис 2), что абсцисс узлов используются значения x_i , а ординат h_i из таблицы 1

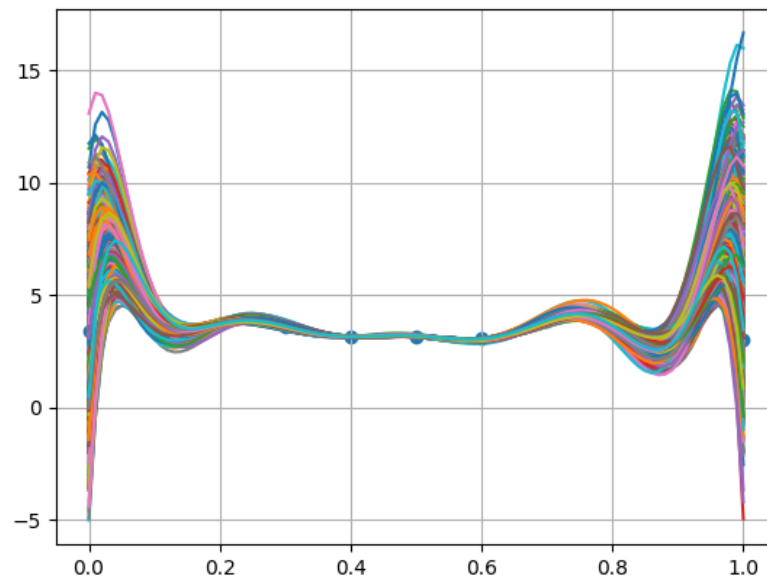


Рис. 2: 1000 интерполлянтов Лагранжа со случайной величиной.

с. Построение добротной полосы

Исходя из условий задания, понимаем, что функции $\tilde{h}_l(x)$ и $\tilde{h}_u(x)$ границы доверительного интервала, чтобы значение интерполлянта в точке x лежать на интервале $[\tilde{h}_l(x); \tilde{h}_u(x)]$, с вероятностью 0.9, надо откинуть первые и последние 50 интерполлянтов. Для этого надо отсортировать массив 1000 интерполлянтов так, чтобы для любого $x \in [0; 1]$ выполнялось условие $\tilde{h}_l(x) < \tilde{h}_u(x)$. После сортировки $\tilde{h}_l(x)$ соответствует 49 элементу массива, а $\tilde{h}_u(x)$ соответствует 949 элементу массива (см. листинг 2.5), затем выведем интерполлянта на (Рис 3)

Листинг 2.5 (Сортировка и построение $\tilde{h}_l(x)$ и $\tilde{h}_u(x)$)

```
L_I = np.sort(L_I, 0) # сортировка массива
plt.figure()
for i in range(1000):
    if i == 49 or i == 949: # построение графиков  $\tilde{h}_l(x)$  и  $\tilde{h}_u(x)$ 
        plt.plot(o, L_I[i])
plt.grid()
plt.show()
```

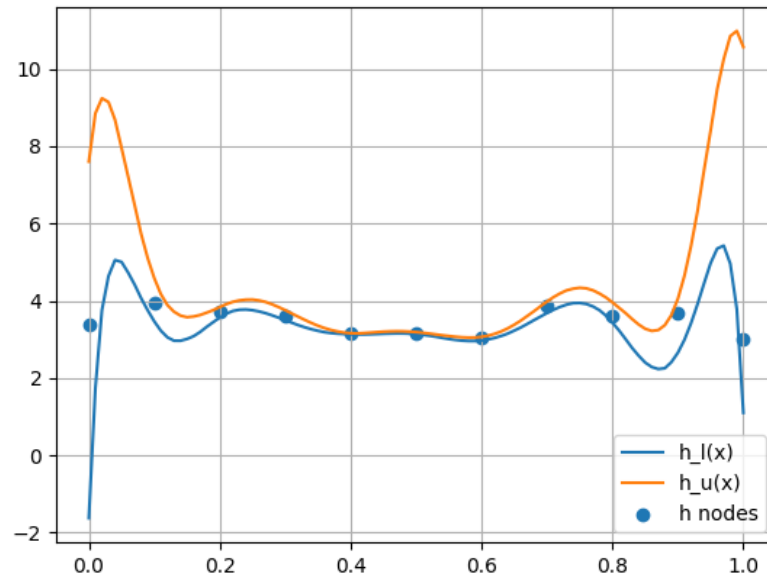


Рис. 3: Интерполянты $\tilde{h}_l(x)$ и $\tilde{h}_u(x)$.

d. Усреднённый интерполлянт

Из предыдущего пункта мы отсортировали наш массив интерполлянтов Лагранжа по условию $\tilde{h}_l(x) < \tilde{h}_u(x)$, т.к. у нас отсортированный массив то усреднённый интерполлянт соответствует 499 элементу массива (см. листинг 2.6). Выведем интерполлянта на (Рис 4)

Листинг 2.5 (построение $\tilde{h}_l(x)$ и $\tilde{h}_{ser}(x)$ и $\tilde{h}_u(x)$)

```
plt.figure()
for i in range(1000):
    if i == 49 or i == 499 or i == 949: #построение графиков  $\tilde{h}_l(x)$  и  $\tilde{h}_u(x)$  и  $\tilde{h}_{ser}(x)$ 
        plt.plot(o, L_I[i])
plt.grid()
plt.show()
```

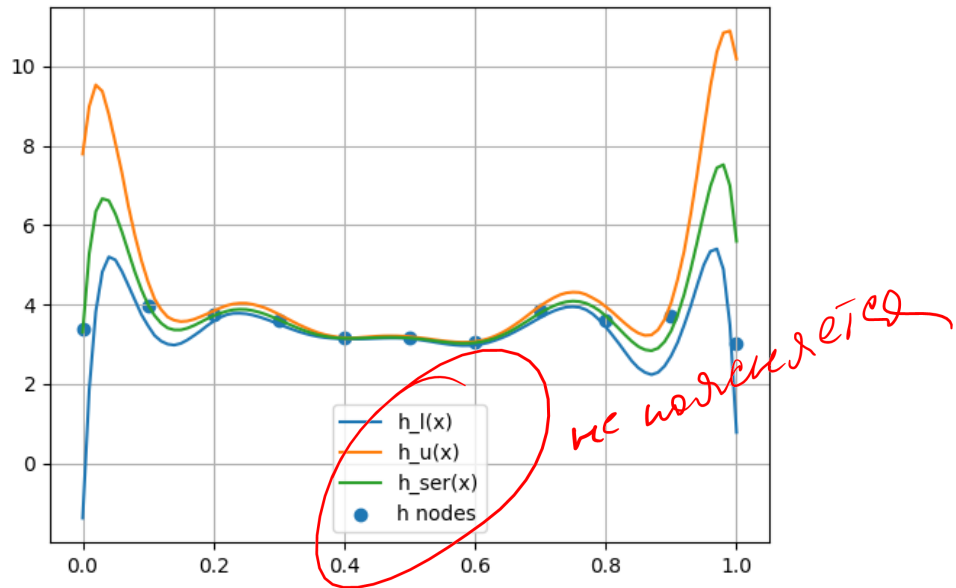


Рис. 4: Интерполянты $\tilde{h}_l(x)$ и $\tilde{h}_{ser}(x)$ и $\tilde{h}_u(x)$

е. Чувствительные участки к погрешностям.

Проанализировав (Рис 2) можно понять что более чувствительным к погрешностям являются граничные отрезки, т.к. в начале и в конце интерполлянтов Лагранжа базовой полиномы накапливаются паразитные осцилляции. С увеличением точек этот эффект будет увеличиваться из-за накопление паразитных осцилляций. Данную проблему можно решить с помощью интерполяционного узла Чебышева

2.4.Погрешность значений ординат h_i

Как и в предыдущем пункте формируем матрицу из 1000 векторов поменяв значение $[\tilde{h}_1, \dots, \tilde{h}_{11}]^T$, так что $\tilde{h}_i = h_i + Z$, где h_i значению из таблице 1 и Z случайная величина с нормальным распределением и нулевым мат ожиданием и отклонением 10^{-2} (см.листинг2.7).

Листинг 2.3 (Код формирование 1000 векторов со случайным величиной для h_i)

```
for i in range(1000):
    x_pog = []
    #создание случайной величины
    z = [random.normalvariate(mu=0, sigma=0.01) for j in range(len(x_I))]
    for k in range(len(x_I)):
        z[k] = round(z[k], 5)
        x_pog.append(h_I[k] + z[k])
    vec.insert(i, x_pog) # формирование 1000 векторов со случайным величиной
```

Сформированную матрицу 1000×11 передадим в функцию итерполяции Лагранжа, добавив дополнительные точки для более грамотного вывода интерполянтов (см. листинг 2.8).

Листинг 2.8 (Код интерполяции Лагранжа со случайной величиной для h_i)

```
for i in range(1000):
    temp = []
    for j in range(101):
        temp.append(L(1 / 101 * j, vec[i], x_I)) # передача  $h_i$  в функция
интерполяции Лагранжа
    L_I.insert(i, temp) # Запись значений интерполяции в матрицу
```

Построим графики интерполянта Лагранжа (Рис 5)

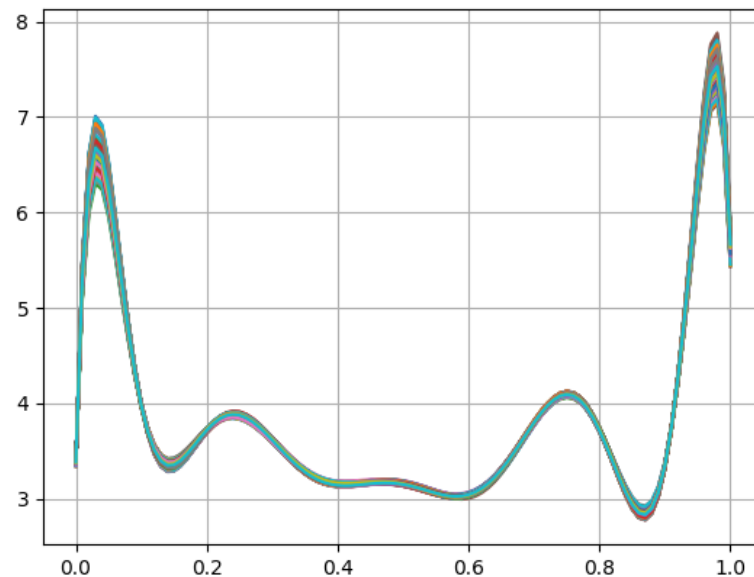
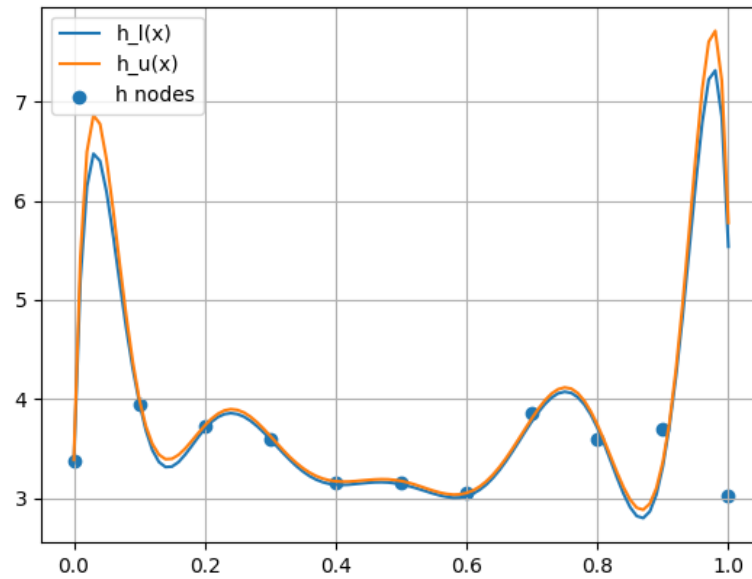


Рис. 5: интерполянты Лагранжа со случайной величиной для случайной величины h_i

Отсортируем матрицу интерполянтов Лагранжа чтобы наша точка h_i попадала в промежуток $[\tilde{h}_l(x); \tilde{h}_u(x)]$, с вероятностью 0.9, после \tilde{h}_l соответствует 49 элементу массива, а \tilde{h}_u соответствует 949 элементу массива (см. листинг 2.9), затем выведем интерполлянты на (Рис 6)

Листинг 2.9 (Сортировка и построение $\tilde{h}_l(x)$ и $\tilde{h}_u(x)$)

```
plt.figure()
for i in range(1000):
    if i == 49 or i == 949:
        plt.scatter(x_I, h_I)
        plt.plot(o, L_I[i]) # построение графиков  $\tilde{h}_l(x)$  и  $\tilde{h}_u(x)$ 
```

?

Рис. 6: Интерполлянты $\tilde{h}_l(x)$ и $\tilde{h}_u(x)$ для случайной величины h_i .

Из предыдущего пункта мы отсортировали наш массив интерполлянтов Лагранжа по условию $\tilde{h}_l(x) < \tilde{h}_u(x)$, т.к. у нас отсортированный массив то усреднённый итнтерполлянт соответствует 499 элементу массива. Выведем интерполлянта на (Рис 7)

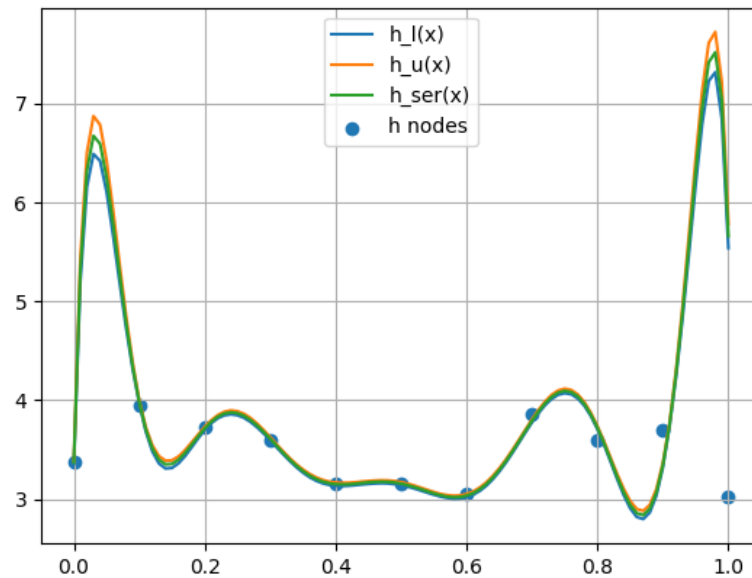


Рис. 7: Интерполлянты $\tilde{h}_l(x)$ и $\tilde{h}_{ser}(x)$ и $\tilde{h}_u(x)$ для случайной величины h_i

Проанализировав (Рис 5) можно что как и на (Рис 2) более чувствительным к погрешностям являются граничные отрезки, т.к. в начале и в конце интерполлянтов Лагранжа базовой полиномы накапливаются паразитные осцилляции.

2.5. Влияние погрешности на интерполяцию кубическим сплайном

По аналогии с 3 пунктом построим графики интерполяции кубическим сплайном, предполагая что абсцисса узлов используются \tilde{x}_i где $\tilde{x}_i = x_i + Z$, Z - Случайная величина, а \tilde{h}_i взяты из таблицы 1 (Рис 8)

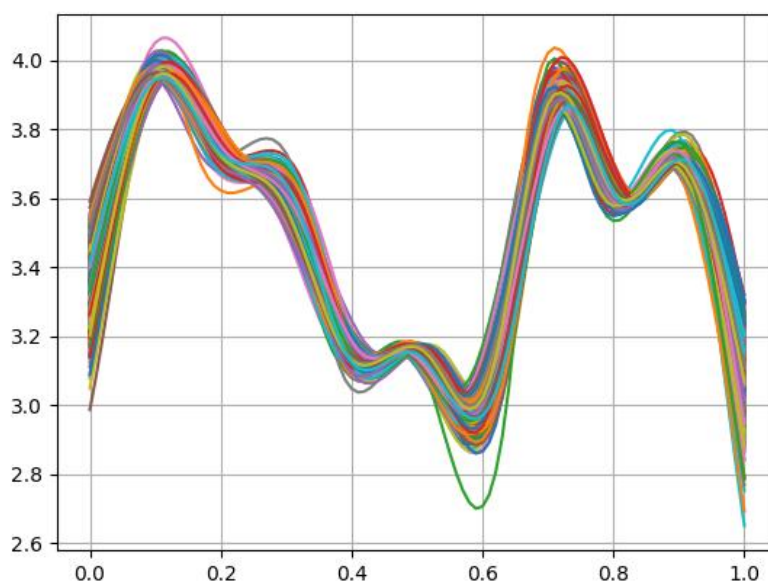


Рис. 8: график кубических сплайнов со случайной величиной x_i

Снова построим график интерполяции но теперь предлагая что абсцисса \tilde{x}_i будет взята из таблицы 1, а ордината \tilde{h}_i , где $\tilde{h}_i = h_i + Z$, Z - Случайная величина (Рис 9)

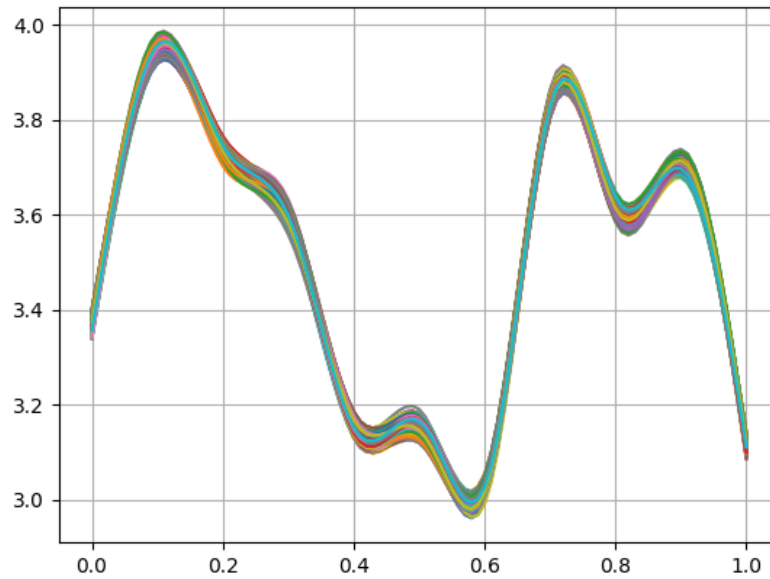


Рис. 9: график кубических сплайнов со случайной величиной h_i

Построим графики интерполяции с функциями $\tilde{h}_l(x)$ и $\tilde{h}_u(x)$, с усредненным кубическим сплайном, предполагая что абсцисса узлов используются \tilde{x}_i где $\tilde{x}_i = x_i + Z$, Z - Случайная величина, а \tilde{h}_i взяты из таблицы 1 (Рис 10)

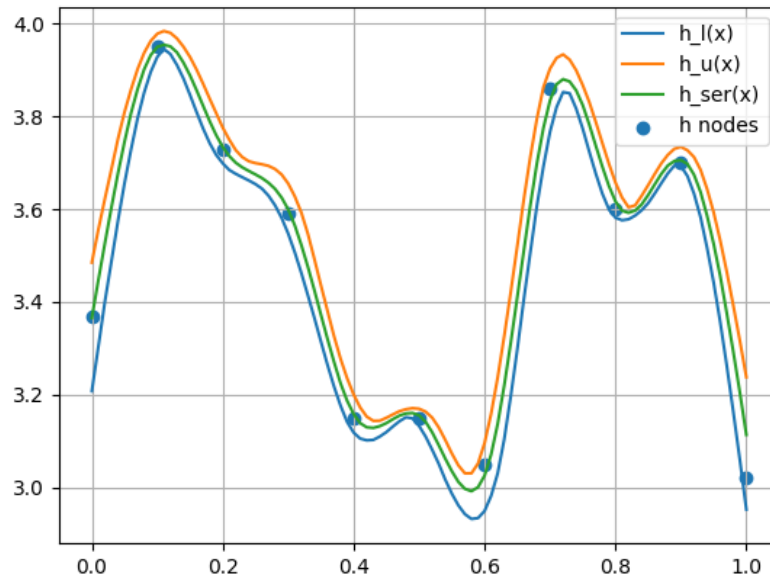


Рис. 10: Интерполянты $\tilde{h}_l(x)$ и $\tilde{h}_{ser}(x)$ и $\tilde{h}_u(x)$ для случайных величин x_i .

Построим графики интерполяции с функциями $\tilde{h}_l(x)$ и $\tilde{h}_u(x)$, с усредненным кубическим сплайном, предлагая что абсцисса \tilde{x}_i будет взята из таблицы 1, а ордината \tilde{h}_i , где $\tilde{h}_i = h_i + Z$, Z - Случайная величина (Рис 119)

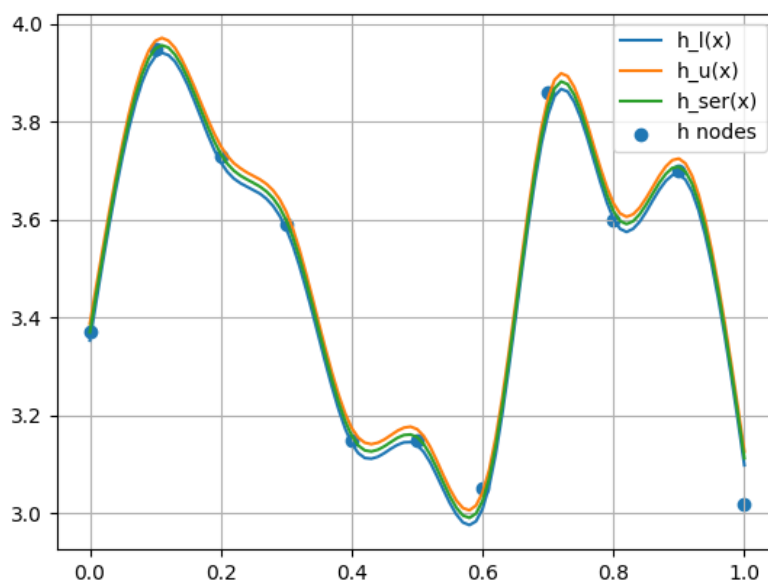


Рис. 11: Интерполянты $\tilde{h}_l(x)$ и $\tilde{h}_{ser}(x)$ и $\tilde{h}_u(x)$ для случайной величины \tilde{h}_i .

Проанализировав (Рис 8) и (Рис 9) заметим, что паразитные осцилляции не накапливается в кубическом сплайне, отсюда следует что для большого количества точек подходит интерполяция методом кубического сплайна.

Заключение

Заключение:

В данной работе мы рассмотрели два метода интерполяции кубическим сплайном и полином Лагранжа, рассмотрели их плюсы и минусы в определённых областях.

При работе с не точными измерениями интерполяция кубическим сплайном лучше справляется чем интерполяция полинома Лагранжа, т.к можно получить разницу в результате, при незначительных изменений в измерениях

Анализируя интерполянты полинома Лагранжа и интерполяция кубическим сплайном, заметим, что интерполянты полинома Лагранжа хоть и работает быстрее, но если нужна будет численная точность, то лучше использовать интерполяция кубическим сплайном, а если нужно отсортировать в реальном времени, то лучше использовать интерполянты полинома Лагранжа

Исходя из выполненной работы модно понять, что для каждого метода интерполяции есть своя наиболее подходящая область

Список использованных источников

1. **Першин А.Ю.** Лекции по курсу «Вычислительная математика». Москва, 2018- 2021. С. 140.¹.
2. **Соколов А. П., Першин А. Ю.** Инструкция по выполнению лабораторных работ. Москва-2021
3. **Документация Python [Электронный ресурс]** /. — Электрон. текстовые дан. — 2020. — Режим доступа: www.python.org/doc/ (Дата обращения: 25.05.2020);

¹Оформляется согласно ГОСТ 7.1-2003 «Библиографическая запись. Библиографическое описание. Общие требования и правила составления», и ГОСТ 7.82-2001 «Библиографическая запись. Библиографическое описание электронных ресурсов. Общие требования и правила составления»